

# Оптимизация распределения сенсоров между источниками сигналов

Леонова Анна Васильевна, студентка 441 гр.

Научный руководитель: Границин О.Н., д.ф.-м.н., профессор

Рецензент: Иванский Ю.В., к.ф.-м.н., старший научный сотрудник

Санкт-Петербургский государственный университет  
Санкт-Петербург

25 мая 2018

# Актуальность



a)



b)



c)



d)

Примеры практического применения: а) видеонаблюдение в местах большого скопления людей, б) управление воздушным движением, с) информирование о ситуации в космосе, д) отслеживание передвижения животных

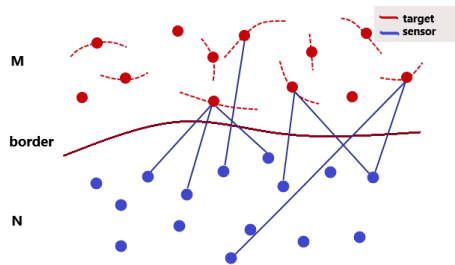
# Цель работы

Целью работы является разработка информационно-аналитической системы для автоматизации процесса распределения целей между наблюдателями. Для достижения этой цели были сформулированы следующие задачи:

- Разработка прототипа информационно-аналитической системы с возможностями визуализации задачи, настройки различных параметров.
- Разработка структуры базы данных для хранения информации о наблюдателях, траектории цели, экспериментах (промежуточные данные и результаты).
- Сравнение алгоритмов оптимизации распределения объектов между сенсорами: полного перебора и метода на основе решения LMI (Ерофеева В.А., Границин О.Н.: SYSID, 2018) — посредством анализа результатов моделирований.

# Математическая модель

- $M = \{1, 2, \dots, m\}$  — набор целей  
 $\{x_t^i\}_{t=0,1,2,\dots}, x_t^i \in R^p, i \in M$  — траектория цели  $i$
- $N = \{1, 2, \dots, n\}$  — набор датчиков  
 $y_t^{i,j} \in R^d, i \in M, j \in N$  — измерения с датчика  $j$  в момент времени  $t$ , соответствующие наблюдаемой траектории цели  $i$



Распределенная сеть из  $n$  сенсоров и  $m$  целей

# Модель наблюдения

$\mathbf{x}_t^i = [x_t^{i,1} \ x_t^{i,2}]^\top$  – расположение объектов

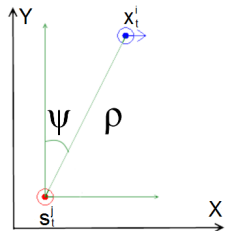
$\mathbf{s}_t^j = [s_t^{j,1} \ s_t^{j,2}]^\top$  – расположение наблюдателей на плоскости

$$\varphi(\mathbf{s}_t^j, \mathbf{x}_t^i) = \begin{bmatrix} \psi(\mathbf{s}_t^j, \mathbf{x}_t^i) \\ \rho(\mathbf{s}_t^j, \mathbf{x}_t^i) \end{bmatrix} \in \mathbb{R}^2,$$

где  $\psi(\mathbf{s}_t^j, \mathbf{x}_t^i) = \arctg \left[ \frac{x_t^{i,1} - s_t^{j,1}}{x_t^{i,2} - s_t^{j,2}} \right]$  — угол азимута,

$$\rho(\mathbf{s}_t^j, \mathbf{x}_t^i) = \sqrt{(x_t^{i,1} - s_t^{j,1})^2 + (x_t^{i,2} - s_t^{j,2})^2}$$

— расстояние от местоположения сенсора до объекта



Пример  
наблюдения

# Модель наблюдения

$\mathbf{x}_t^i = [x_t^{i,1} \ x_t^{i,2}]^\top$  – расположение объектов

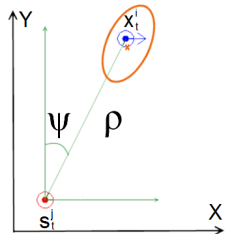
$\mathbf{s}_t^j = [s_t^{j,1} \ s_t^{j,2}]^\top$  – расположение наблюдателей на плоскости

$$\varphi(\mathbf{s}_t^j, \mathbf{x}_t^i) = \begin{bmatrix} \psi(\mathbf{s}_t^j, \mathbf{x}_t^i) \\ \rho(\mathbf{s}_t^j, \mathbf{x}_t^i) \end{bmatrix} \in \mathbb{R}^2,$$

где  $\psi(\mathbf{s}_t^j, \mathbf{x}_t^i) = \arctg \left[ \frac{x_t^{i,1} - s_t^{j,1}}{x_t^{i,2} - s_t^{j,2}} \right]$  — угол азимута,

$$\rho(\mathbf{s}_t^j, \mathbf{x}_t^i) = \sqrt{(x_t^{i,1} - s_t^{j,1})^2 + (x_t^{i,2} - s_t^{j,2})^2}$$

— расстояние от местоположения сенсора до объекта



Пример  
наблюдения

# Модель наблюдения

$\mathbf{x}_t^i = [x_t^{i,1} \ x_t^{i,2}]^\top$  – расположение объектов

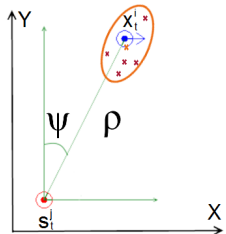
$\mathbf{s}_t^j = [s_t^{j,1} \ s_t^{j,2}]^\top$  – расположение наблюдателей на плоскости

$$\varphi(\mathbf{s}_t^j, \mathbf{x}_t^i) = \begin{bmatrix} \psi(\mathbf{s}_t^j, \mathbf{x}_t^i) \\ \rho(\mathbf{s}_t^j, \mathbf{x}_t^i) \end{bmatrix} \in \mathbb{R}^2,$$

где  $\psi(\mathbf{s}_t^j, \mathbf{x}_t^i) = \arctg \left[ \frac{x_t^{i,1} - s_t^{j,1}}{x_t^{i,2} - s_t^{j,2}} \right]$  — угол азимута,

$$\rho(\mathbf{s}_t^j, \mathbf{x}_t^i) = \sqrt{(x_t^{i,1} - s_t^{j,1})^2 + (x_t^{i,2} - s_t^{j,2})^2}$$

— расстояние от местоположения сенсора до объекта



Пример  
наблюдения

# Доверительные эллипсы

Доверительный эллипс задается формулой:

$$\mathcal{E}^{i,j} = \{x \in \mathbb{R}^{\nu} : (x - x_c)^T P^{-1}(x - x_c) \leq 1\}, \quad P = RR^T \quad (1)$$

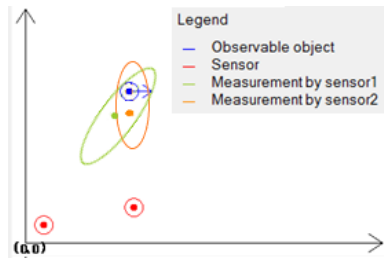
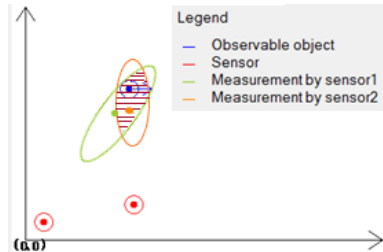


Иллюстрация доверительных эллипсоидов

Если наблюдения с независимыми гаусовскими величинами, то эллипсоид с уровнем достоверности  $p \in [0, 1]$  определяется квантилями распределения  $\chi^2$  с  $d$  степенями свободы.

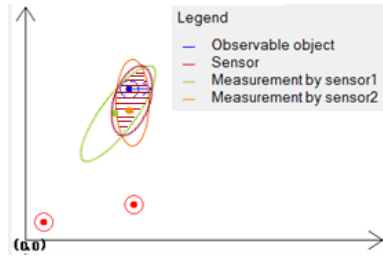
# Пересечение эллипсоидов



Пересечение эллипсов

Ерофеева В.А., СОИ, 2018: Вероятность, что точка измерений принадлежит  $U_i^{\{j_1^i, j_2^i\}} = \mathcal{E}^{i, j_1^i} \cap \mathcal{E}^{i, j_2^i}$  равна  $1 - 3p$

# Пересечение эллипсоидов



Пересечение эллипсов

Ерофеева В.А., СОИ, 2018: Вероятность, что точка измерений принадлежит  $U_i^{\{j_1^i, j_2^i\}} = \mathcal{E}^{i, j_1^i} \cap \mathcal{E}^{i, j_2^i}$  равна  $1 - 3p$

## Формальная постановка задачи

$U_i^{\{j_1^i, \dots, j_{k_i}^i\}} = \bigcap \mathcal{E}^{i, j_q^i}$       $S$  – все наборы  $\{j_1^i, \dots, j_{k_i}^i\}$  при  $i = 1, \dots, m$

$$\Phi(S) = \text{Vol}(U_i^{\{j_1^i, \dots, j_{k_i}^i\}}) \rightarrow \min_S$$

## Формальная постановка задачи

$U_i^{\{j_1^i, \dots, j_{k_i}^i\}} = \bigcap \mathcal{E}^{i, j_q^i}$      $S$  – все наборы  $\{j_1^i, \dots, j_{k_i}^i\}$  при  $i = 1, \dots, m$

$$\Phi(S) = \text{Vol}(U_i^{\{j_1^i, \dots, j_{k_i}^i\}}) + \alpha |\{j_1^i, \dots, j_{k_i}^i\}| \rightarrow \min_S,$$

где  $\alpha$  – «стоимость» за каждый сенсор,

$|\cdot|$  – мощность множества.

## Формальная постановка задачи

$$U_i^{\{j_1^i, \dots, j_{k_i}^i\}} = \bigcap \mathcal{E}^{i, j_q^i} \quad S - \text{все наборы } \{j_1^i, \dots, j_{k_i}^i\} \text{ при } i = 1, \dots, m$$

$$\Phi(S) = \sum_{i \in M} Vol(U_i^{\{j_1^i, \dots, j_{k_i}^i\}}) + \alpha |\{j_1^i, \dots, j_{k_i}^i\}| \rightarrow \min_S, \quad (2)$$

где  $\alpha$  – «стоимость» за каждый сенсор,

$|\cdot|$  – мощность множества.

$G_t = [g_t^{i,j}]$  – матрица распределения ресурсов

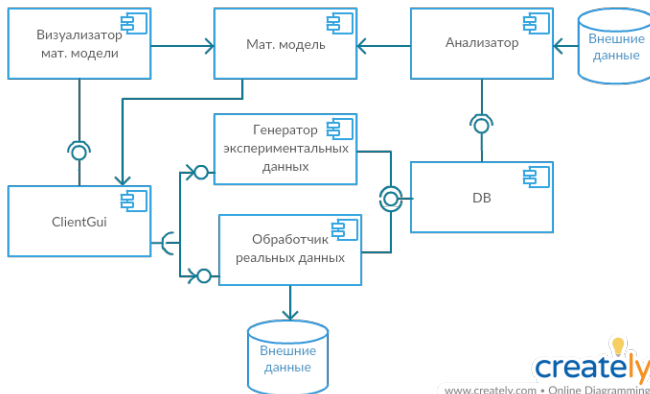
Функционал качества (Ерофеева В.А. и др. – SYSID 2018):

$$\bar{\Phi}(G_t) = \sum_{i \in M} Vol(U_i^{\{j_1^i, \dots, j_{k_i}^i\}}) + \alpha \sum_{i \in M} \|G_t^{i,\cdot}\|_1 \rightarrow \min_{G_t}, \quad (3)$$

где  $\|\cdot\|_1$  –  $l_1$ -«норма»:  $\|x\|_1 = \sum_{i=1}^{\nu} |x_i|$

$G_t^{i,\cdot}$  – множество сенсоров, оценивающих траекторию объекта  $i$

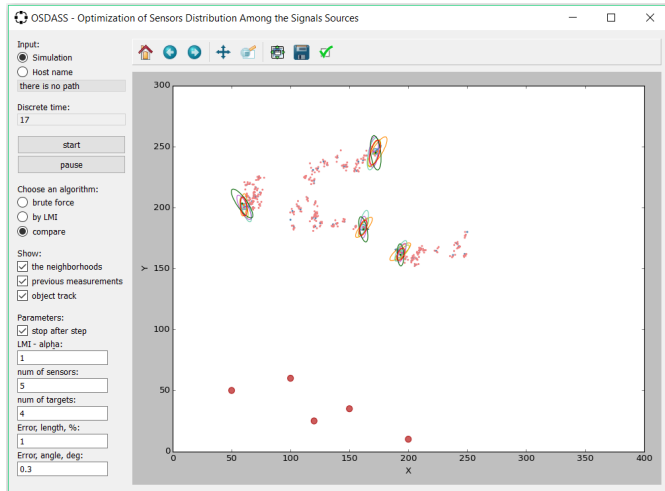
# Прототип информационно-аналитической системы



 **creately**  
www.creately.com • Online Diagramming

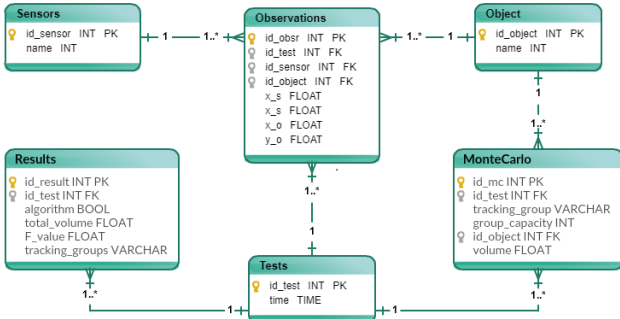
## UML-диаграмма компонентов

# Прототип информационно-аналитической системы



Графический интерфейс системы

# Структура базы данных



  
www.creately.com • Online Diagramming

Диаграмма базы данных

# Апробация

Рассмотрим  $n = 5$  и  $m = 4$ :

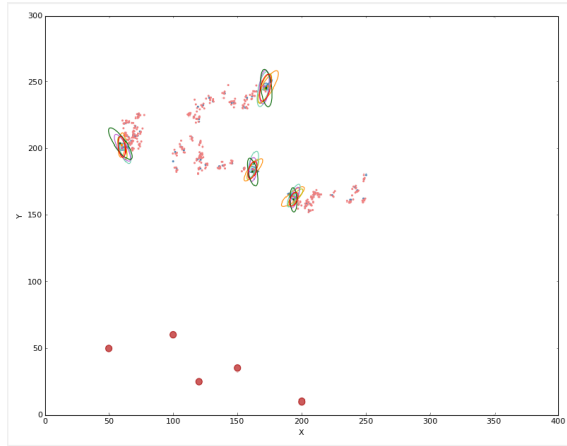
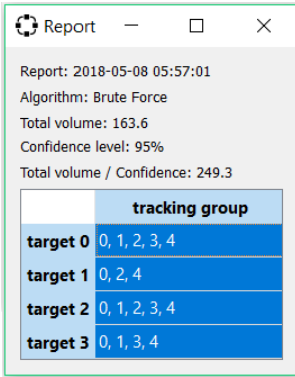
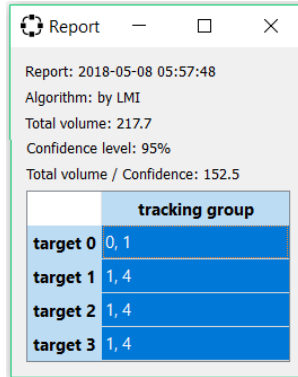


Иллюстрация эксперимента

# Апробация



a)



b)

Результаты эксперимента: а) решение полного перебора, б) решение алгоритма на основе LMI

# Нагрузочное тестирование

Серия	Кол-во сенсоров	Кол-во целей	Brute Force	LMI
			Мат. ожидание, с	Мат. ожидание, с
1	3	2	0.7062	0.4418
2	5	4	7.4825	1.1645
3	8	8	119.704	3.0956
4	16	16	>1200	18.2321
5	39	39	—	439.398
6	40	40	—	—

# Заключение

- Реализован прототип системы для автоматизации процесса распределения целей между наблюдателями на языке Python, с возможностями графической интерпретации задачи и задания параметров как модели наблюдения, так и работы системы.
- Создана структура хранения данных, позволяющая хранить историю экспериментов.
- С помощью реализованной системы был проведен анализ работы алгоритмов посредством сравнения результатов и нагружочного тестирования.
- Результаты представлены на международной конференции молодых ученых в концерне «Электроприбор».

# Метод на основе решения LMI

$$\text{minimize } \delta \quad (4)$$

при LMI-ограничениях

$$\forall i \in [1, m] \quad g_t^{i,1} \geq 0, \dots, g_t^{i,n} \geq 0,$$

$$\forall i \in [1, m] \quad \hat{A}_t^i > 0,$$

$$\forall i \in [1, m] \quad \begin{bmatrix} \hat{A}_t^i & \hat{b}_t^i & 0 \\ (\hat{b}_t^i)^T & -1 & (\hat{b}_t^i)^T \\ 0 & \hat{b}_t^i & -\hat{A}_t^i \end{bmatrix} - \sum_{j=1}^n g_t^{i,j} \begin{bmatrix} A_t^{i,j} & b_t^{i,j} & 0 \\ (b_t^{i,j})^T & c_t^{i,j} & 0 \\ 0 & 0 & 0 \end{bmatrix} \leq 0,$$

$$\sum_{i \in M} \log \det(\hat{A}_t^i)^{-1} + \alpha \sum_{i \in M} \|G_t^{i,\cdot}\|_1 \leq \delta.$$